



<u>Thomas Pöhlsen</u>, Robert Klanner, Sergej Schuwalow, Jörn Schwandt und Jiaguo Zhang

GEFÖRDERT VOM



Universität Hamburg
Institut für Experimentalphysik





DPG Frühjahrstagung, Karlsruhe 2011





## Übersicht

- Motivation warum Studium der Oberflächeneffekte?
- Untersuchte Sensoren
- Versuchsdurchführung
- Ladungssammlung und Elektronenverluste
- Übersicht der Ladungsverluste
- Zusammenfassung und Ausblick



## Motivation – warum Studium der Oberflächeneffekte?

Elektrische Felder im Detektorinneren recht genau bekannt.

Oberflächendefekte und Oberflächenladungen?

Randbedingungen?

Stabilität des Detektors stark abhängig von Oberflächeneffekten.

Ladungsverluste an der Oberfläche festgestellt.



## **Untersuchte Sensoren**

Hersteller: HPK / CiS

Kopplung: DC / AC

Streifenabstand: 50 μm / 80 μm

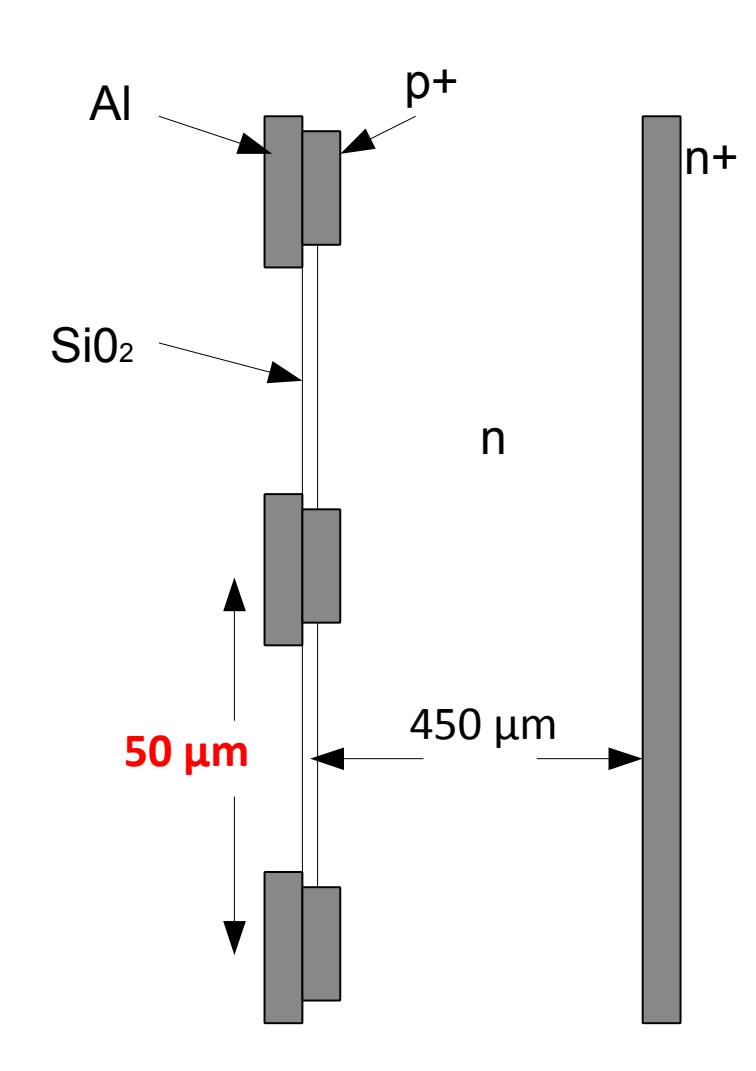
Implantationsbreite:  $11 \, \mu m^* / 20 \, \mu m$ 

Anzahl der Streifen: 128 / 98

Länge der Streifen: 8 mm / 7.8 mm

Sensordicke:  $450 \, \mu m$  /  $285 \, \mu m$ 

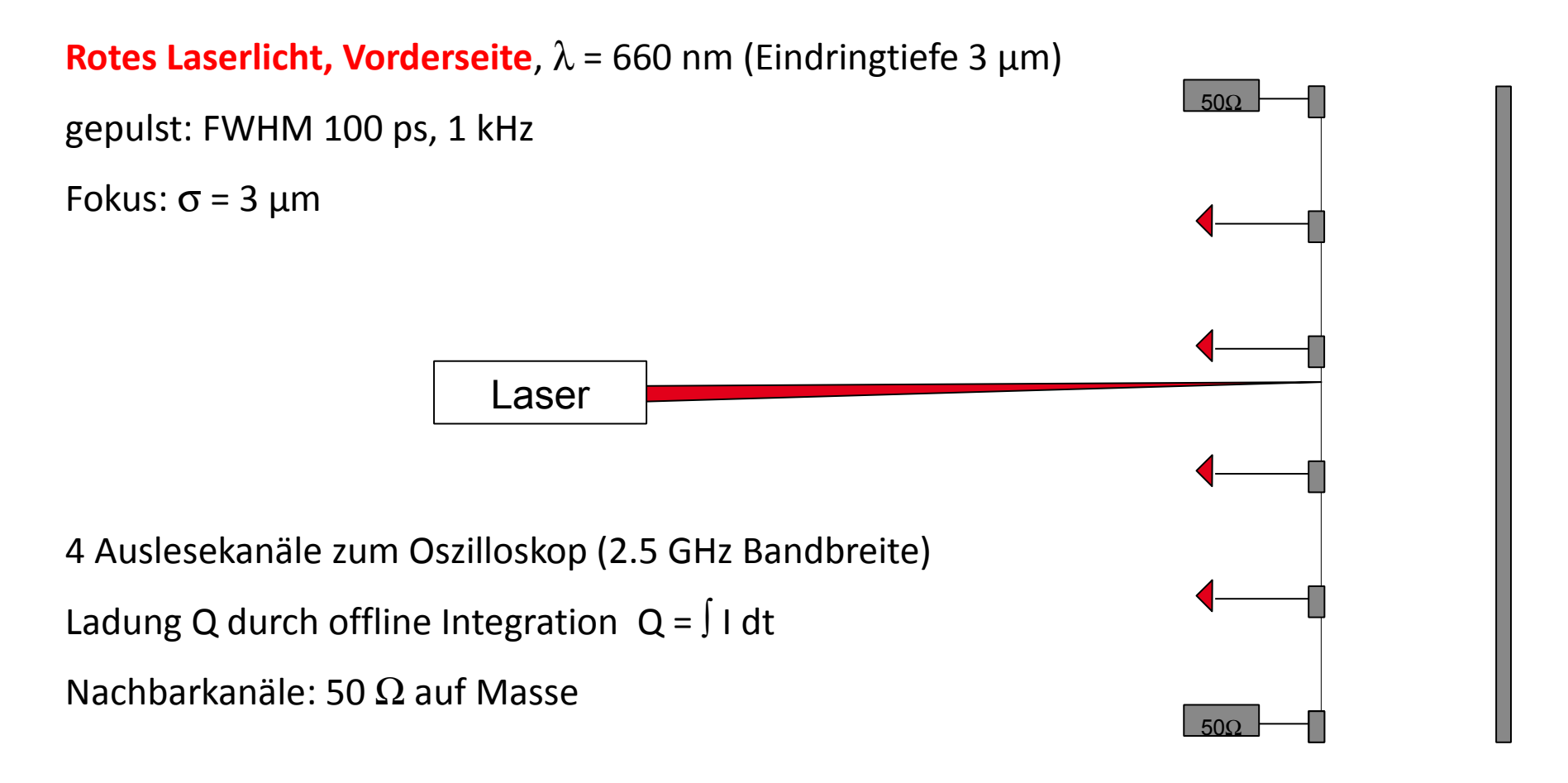
Orientierung: (1 1 1) / (1 0 0)



<sup>\* + 2</sup> μm Aluminium Überhang



# Versuchsdurchführung (TCT)





# Ladungssammlung

Ladungsträger

- driften im elektrischem Feld:  $\overrightarrow{v}_{dr} = \mu \overrightarrow{E}$
- induzieren Ladung auf den Streifen (und der Rückseite)

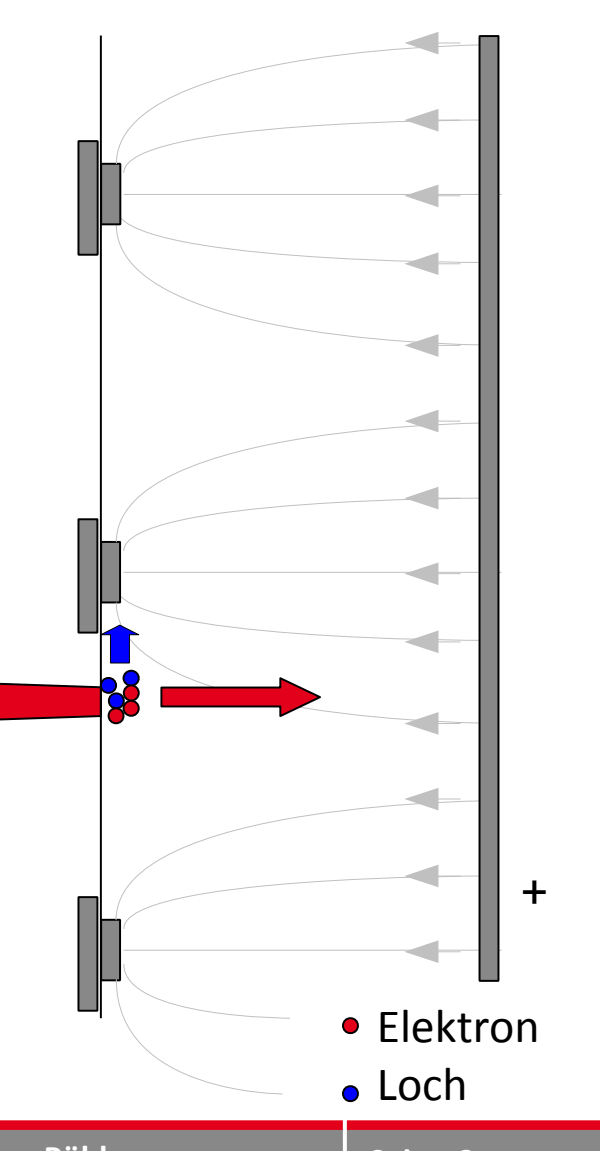
Ind. Ladung auf Streifen j:  $Q_{ind, j}(t) = q \cdot \phi_{w, j}(x(t))$ 

Mit dem Weighting Potential  $\phi_{w, j}$ 

Laser

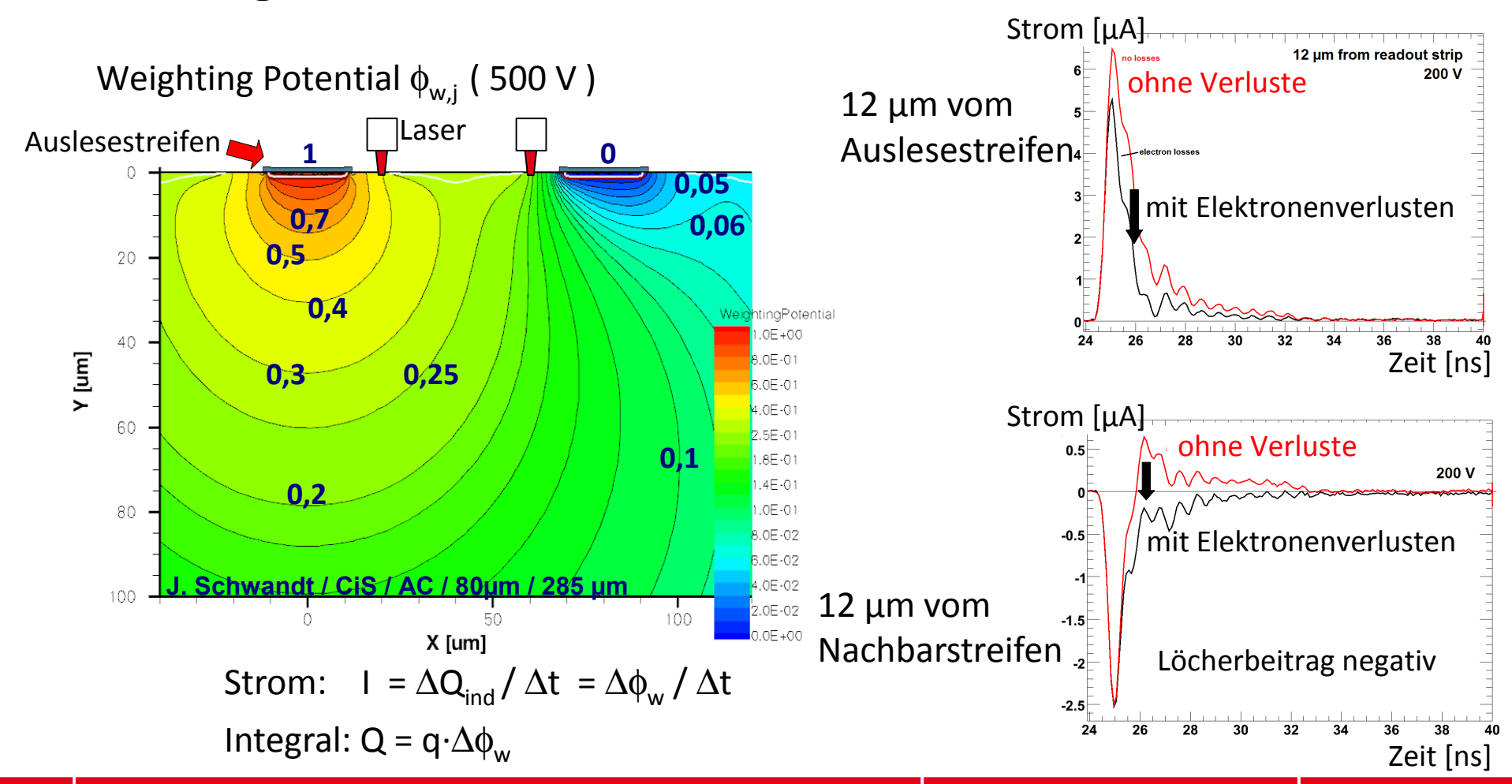
Ramo: Induzierter Strom  $I_j = \Delta Q_{ind, j} / \Delta t = \overrightarrow{\nabla} \phi_{w, j} \cdot \overrightarrow{v}_{dr}$ 

Gesammelte Ladung:  $Q_i = \int I_i dt$ 



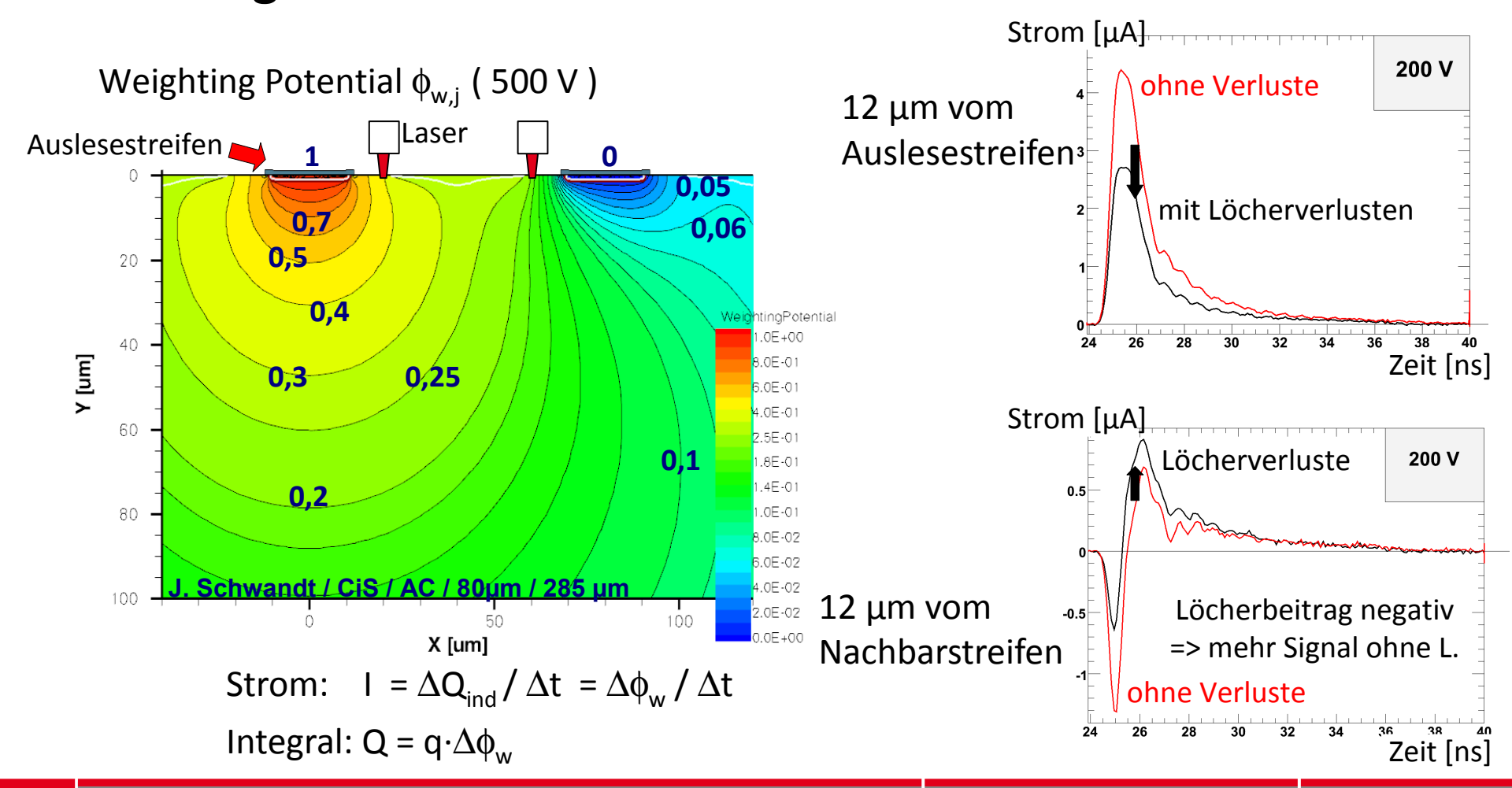


# Stromsignal ohne und mit Elektronenverlusten





## Stromsignal ohne und mit Löcherverlusten





bei Erzeugung dicht am Streifen

#### Vollständige Ladungssammlung:

Löcher am nächsten Streifen, Elektronen an der Rückseite

Hauptstreifen:  $Q_{Haupt} = \# L\"{o}cher \cdot q_o = 3 q_o$ 

Nachbarn:  $Q_{Nachbarn} = 0$ 

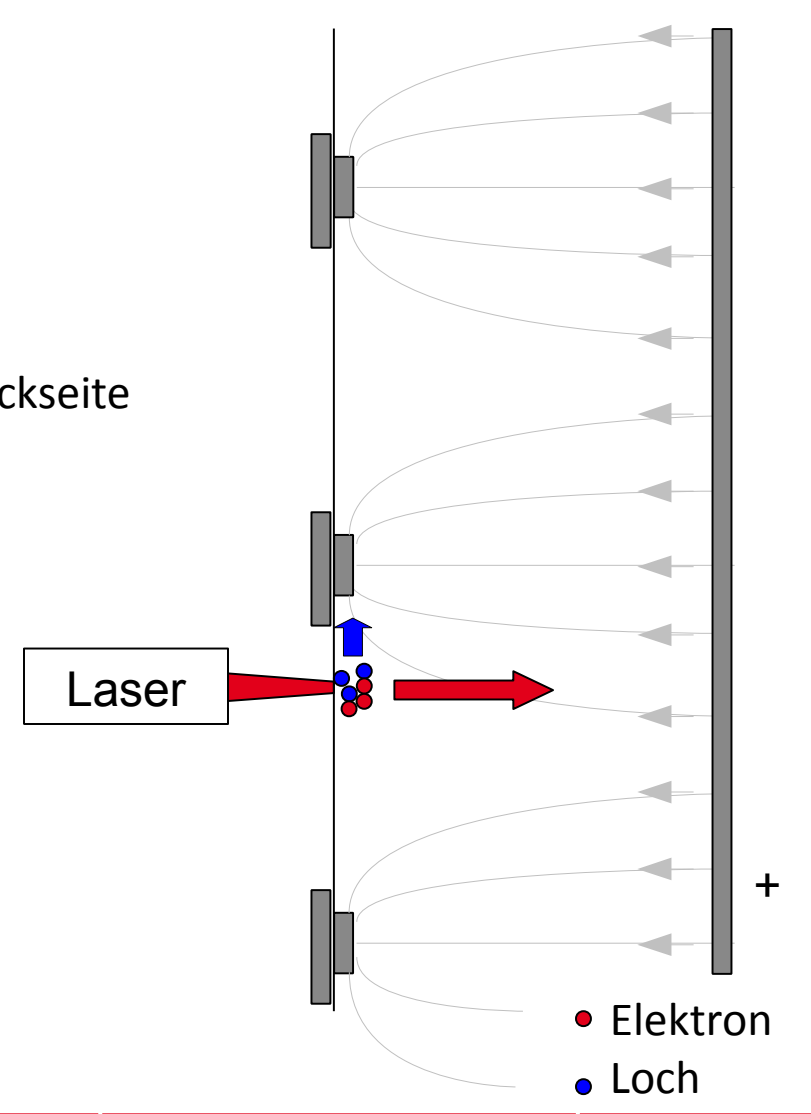
Ladungsverluste: am Ende der Integrationszeit

Ladungen im Volumen:

$$Q_{ind,j} = \pm q \cdot \phi_{w,j}$$
 (Endposition)

Hauptstreifen: Q reduziert

Nachbarstreifen bei Elektronenverlusten: Q < 0





bei Erzeugung dicht am Streifen

#### Vollständige Ladungssammlung:

Löcher am nächsten Streifen, Elektronen an der Rückseite

Hauptstreifen:  $Q_{Haupt} = \# L\"{o}cher \cdot q_o = 3 q_o$ 

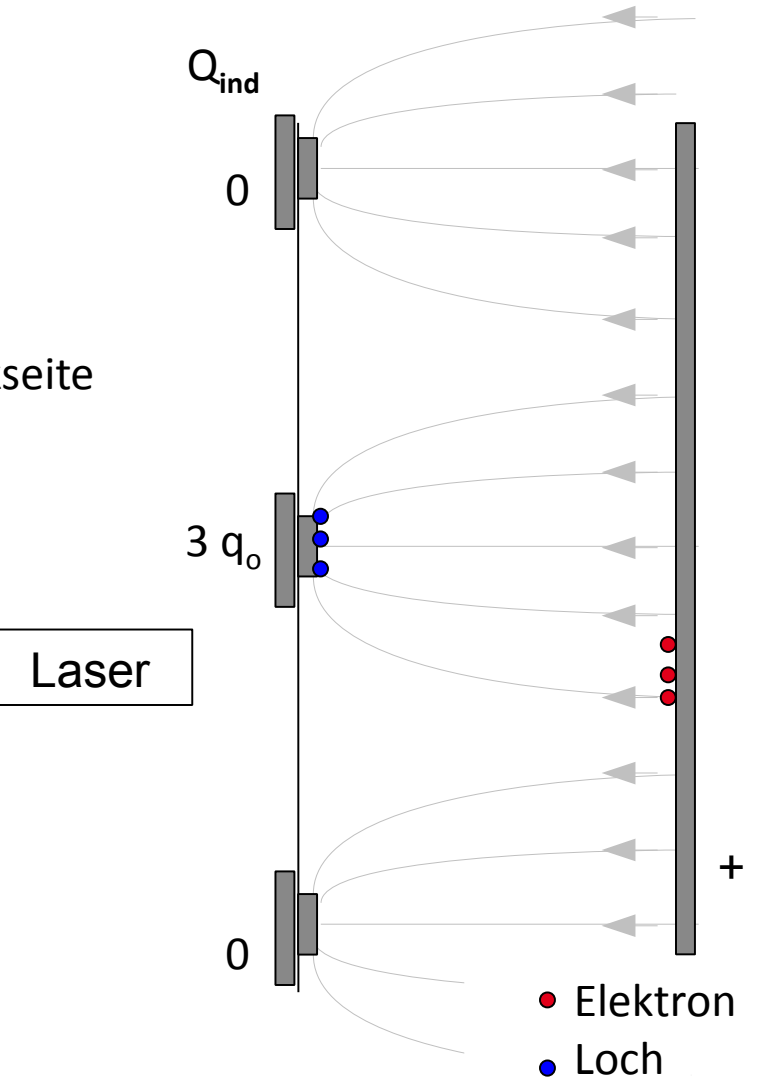
Nachbarn: Q<sub>Nachbarn</sub> = 0

**Ladungsverluste:** am Ende der Integrationszeit Ladungen im Volumen:

$$Q_{ind,i} = \pm q \cdot \phi_{w,i}$$
 (Endposition)

Hauptstreifen: Q reduziert

Nachbarstreifen bei Elektronenverlusten: Q < 0





bei Erzeugung dicht am Streifen

#### Vollständige Ladungssammlung:

Löcher am nächsten Streifen, Elektronen an der Rückseite

Hauptstreifen:  $Q_{Haupt} = \# L\"{o}cher \cdot q_o = 3 q_o$ 

Nachbarn:  $Q_{Nachbarn} = 0$ 

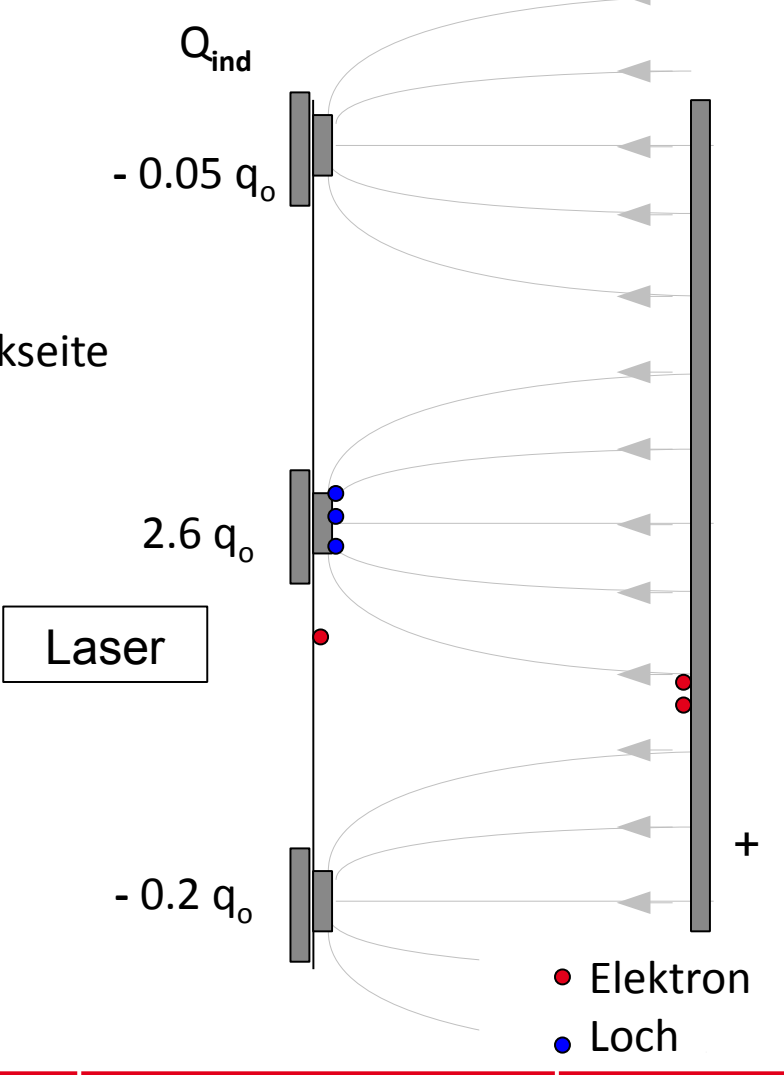
Ladungsverluste: am Ende der Integrationszeit

Ladungen im Volumen:

$$Q_{ind,j} = \pm q \cdot \phi_{w,j}$$
 (Endposition)

Hauptstreifen: Q reduziert

Nachbarstreifen bei Elektronenverlusten: Q < 0





bei Erzeugung dicht am Streifen

#### Vollständige Ladungssammlung:

Löcher am nächsten Streifen, Elektronen an der Rückseite

Hauptstreifen:  $Q_{Haupt} = \# L\"{o}cher \cdot q_o = 3 q_o$ 

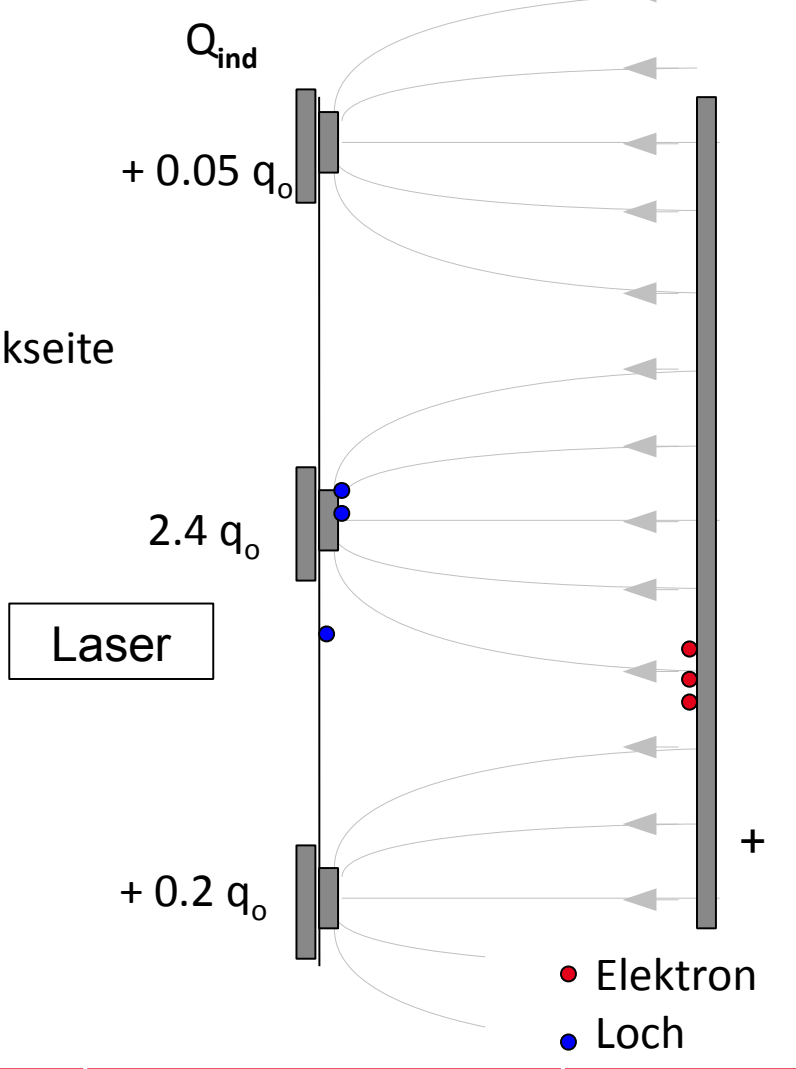
Nachbarn:  $Q_{Nachbarn} = 0$ 

**Ladungsverluste:** am Ende der Integrationszeit Ladungen im Volumen:

$$Q_{ind,j} = \pm q \cdot \phi_{w,j}$$
 (Endposition)

#### Hauptstreifen: Q reduziert

Nachbarstreifen bei Elektronenverlusten: Q < 0





### Q an verschiedenen Orten bekannt => Elektronen- und Löcherverluste berechenbar

#### 1 Auslesestreifen, verschiede Laserpositionen

# Ladungssammlung

bei Erzeugung dicht am Streifen

#### Vollständige Ladungssammlung:

Löcher am nächsten Streifen, Elektronen an der Rückseite

Hauptstreifen:  $Q_{Haupt} = \# L\"{o}cher \cdot q_o = 3 q_o$ 

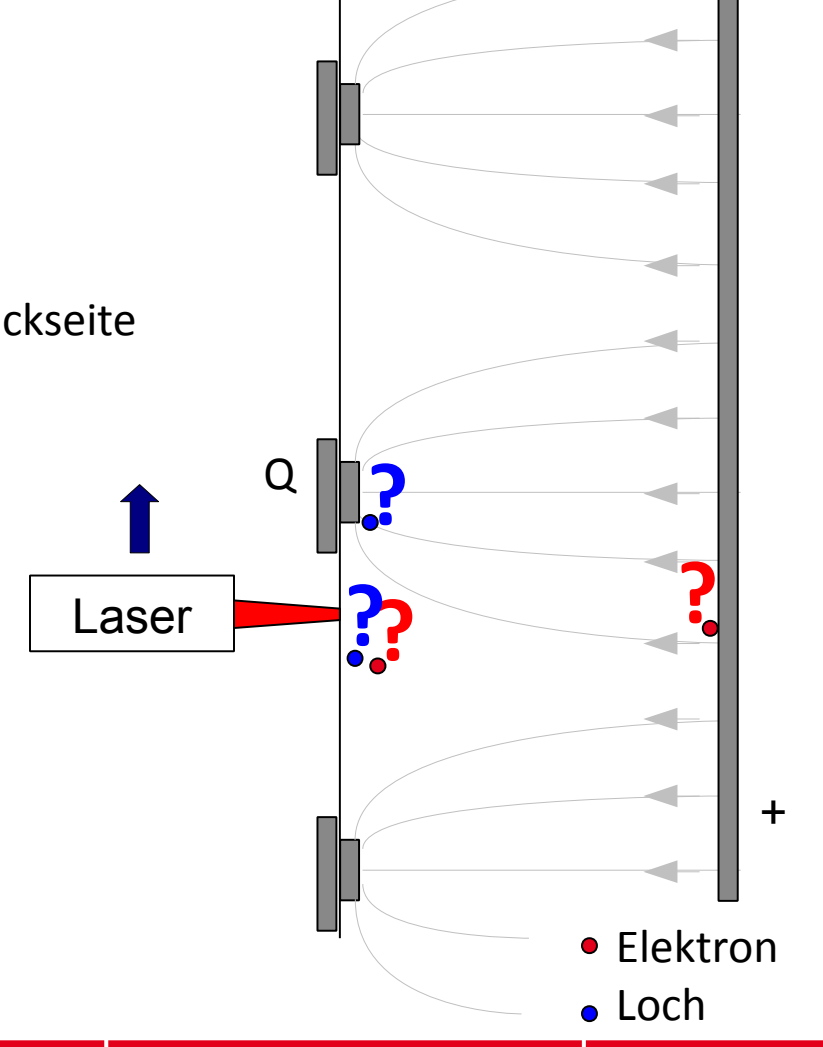
Nachbarn:  $Q_{Nachbarn} = 0$ 

**Ladungsverluste:** am Ende der Integrationszeit Ladungen im Volumen:

$$Q_{ind,i} = \pm q \cdot \phi_{w,i}$$
 (Endposition)

Hauptstreifen: Q reduziert

Nachbarstreifen bei Elektronenverlusten: Q < 0





# Ladung gegen Position - Verluste im Vergleich

Verluste dicht am Auslesestreifen:

=> Q kleiner

Verluste entfernt vom

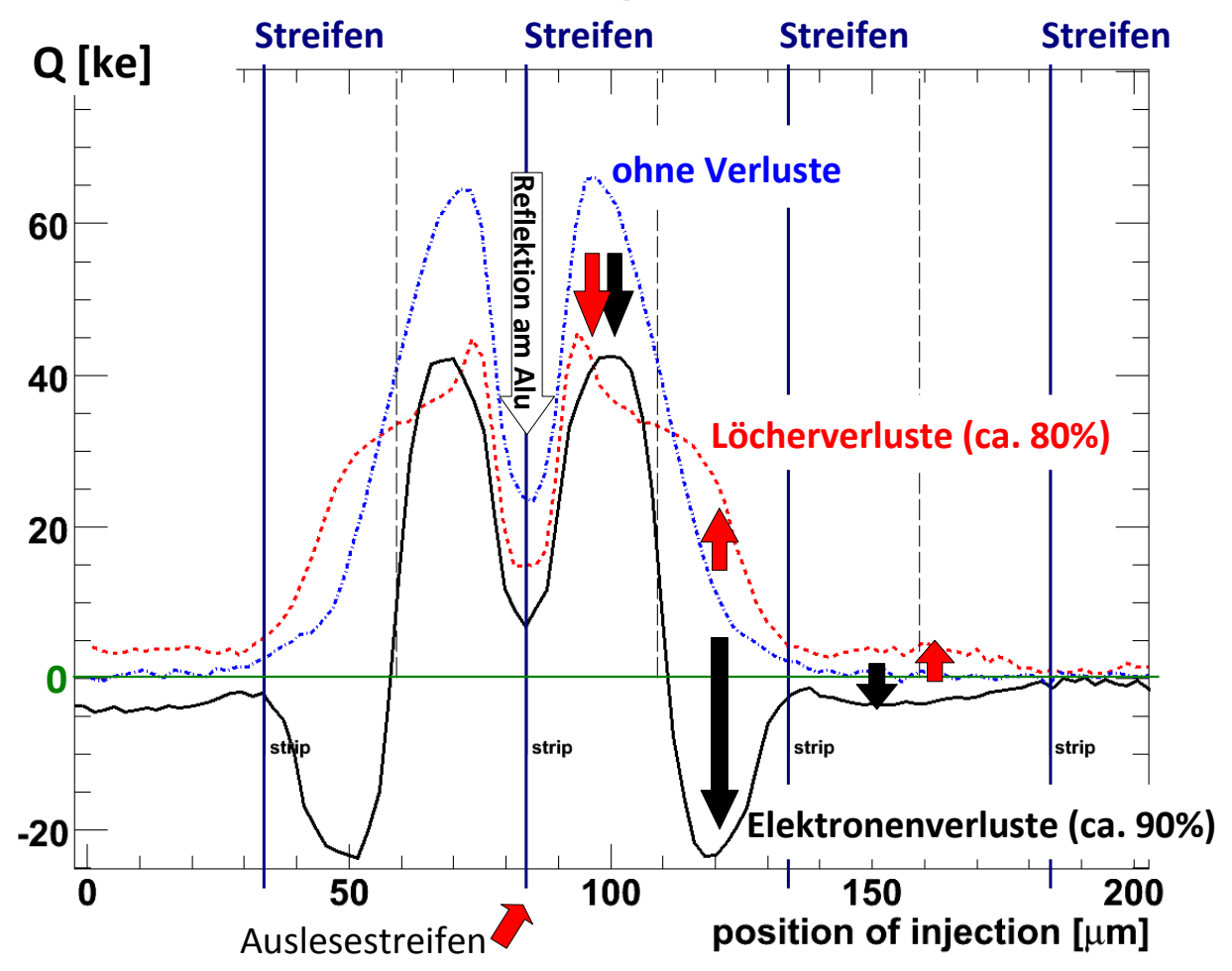
Auslesestreifen:

Elektronen induizieren

Q < 0

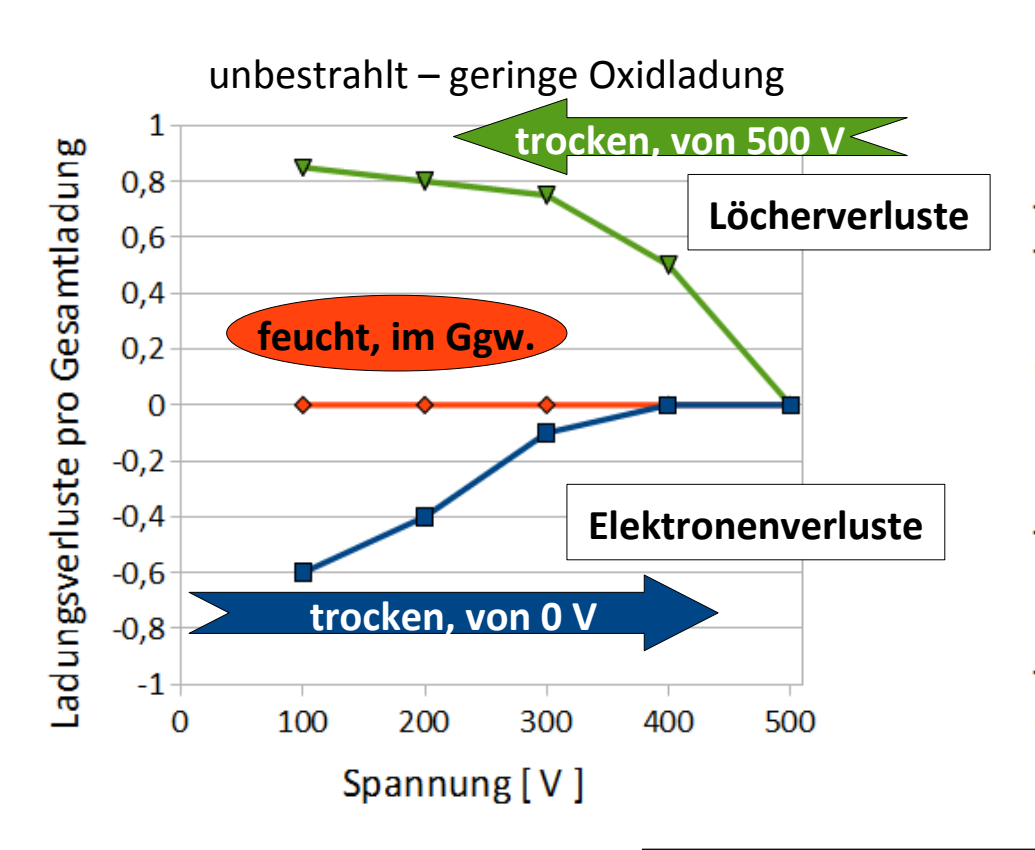
Löcher induzieren

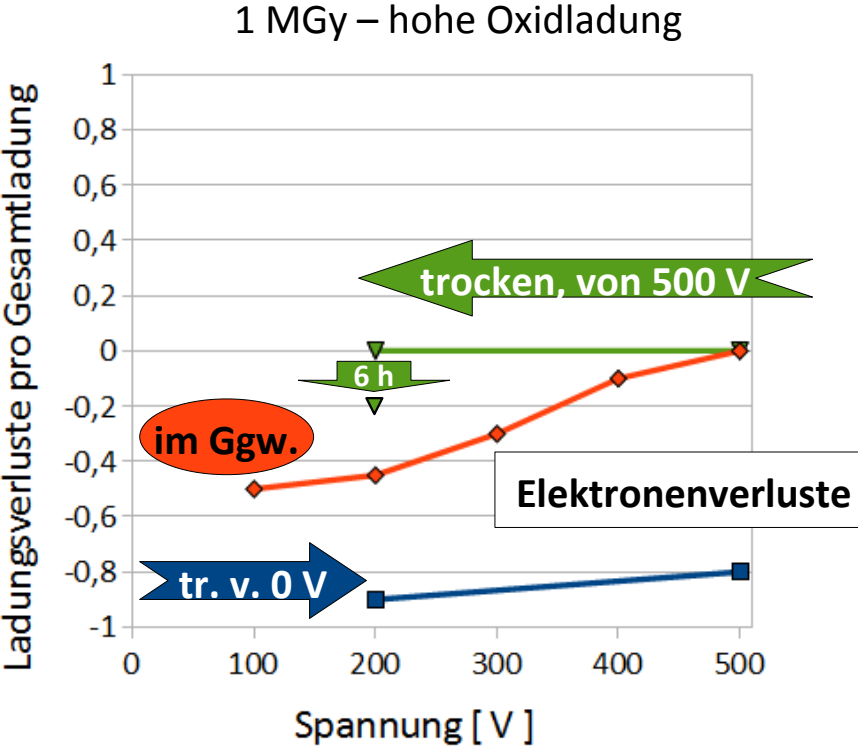
Q > 0





# Übersicht der Ladungsverluste





Je nach Vorgeschichte bis zu 90% Verluste

im E-XFEL hohe Elektronenverluste



## Wieso Elektronenverluste?

Messablauf:

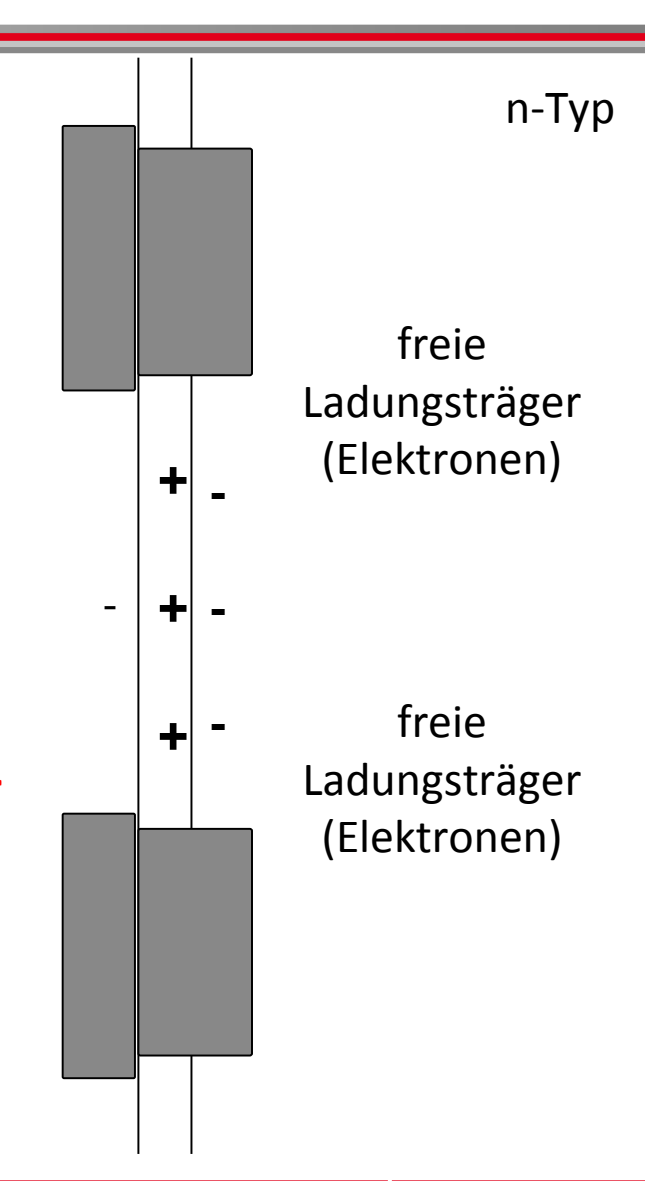
Sensor getrocknet bei 0 V

→ 200 V

Was passiert im Detektor?

**0 V : Oxidladungen kompensiert durch freie Ladungsträger** 

200 V : Oxidladungen unzureichend kompensiert





## Wieso Elektronenverluste?

Messablauf:

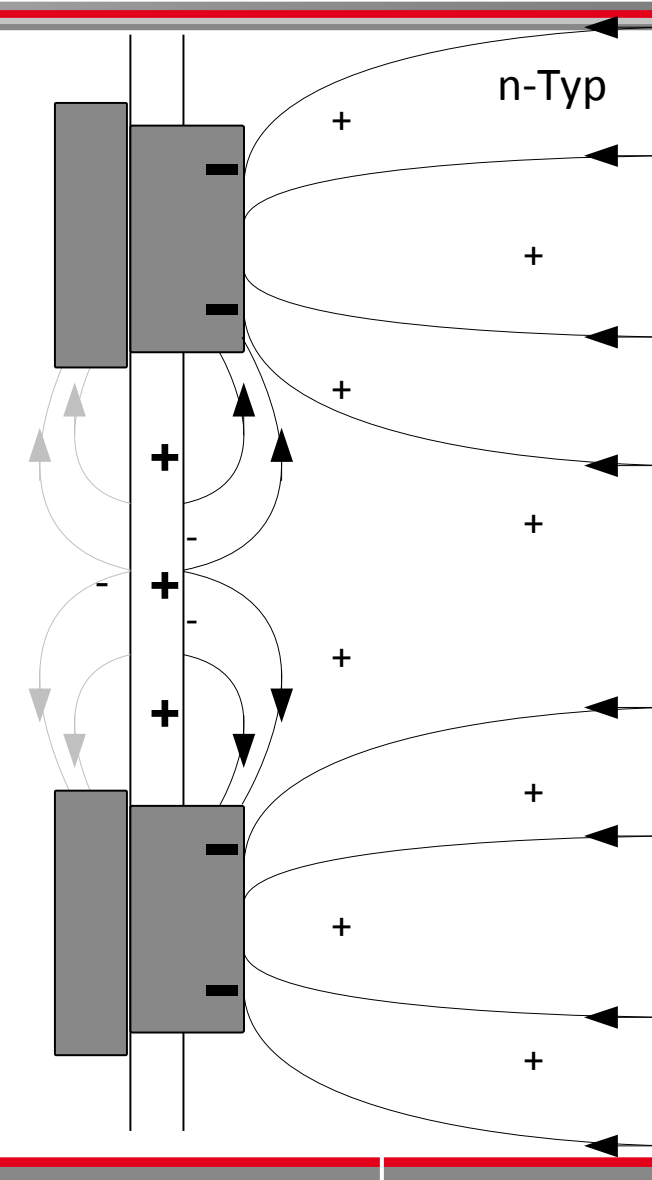
Sensor getrocknet bei 0 V

→ 200 V

Was passiert im Detektor?

0 V: Oxidladungen kompensiert durch freie Ladungsträger

**200 V : Oxidladungen unzureichend kompensiert** 





# **Zusammenfassung und Ausblick**

Löcher- und Elektronverluste festgestellt.

Je nach Vorgeschichte, Oxidladungen und angelegter Spannung bis zu ca. 90 %.

E-XFEL: Hohe, möglicherweise instabile, Elektronenverluste bei hohen Oxidladungen. Kalibrieren?

#### Ausblick:

Sensordesign: leitende Sensoroberflächen?

Wieviel Ladung kann maximal verloren gehen? Wann wird sie gesammelt?



## **Zusammenfassung und Ausblick**



Löcher- und Elektronverluste festgestellt.

Je nach Vorgeschichte, Oxidladungen und angelegter Spannung bis zu ca. 90 %.

E-XFEL: Hohe, möglicherweise instabile, Elektronenverluste bei hohen Oxidladungen. Kalibrieren?

#### Ausblick:

Sensordesign: leitende Sensoroberflächen?

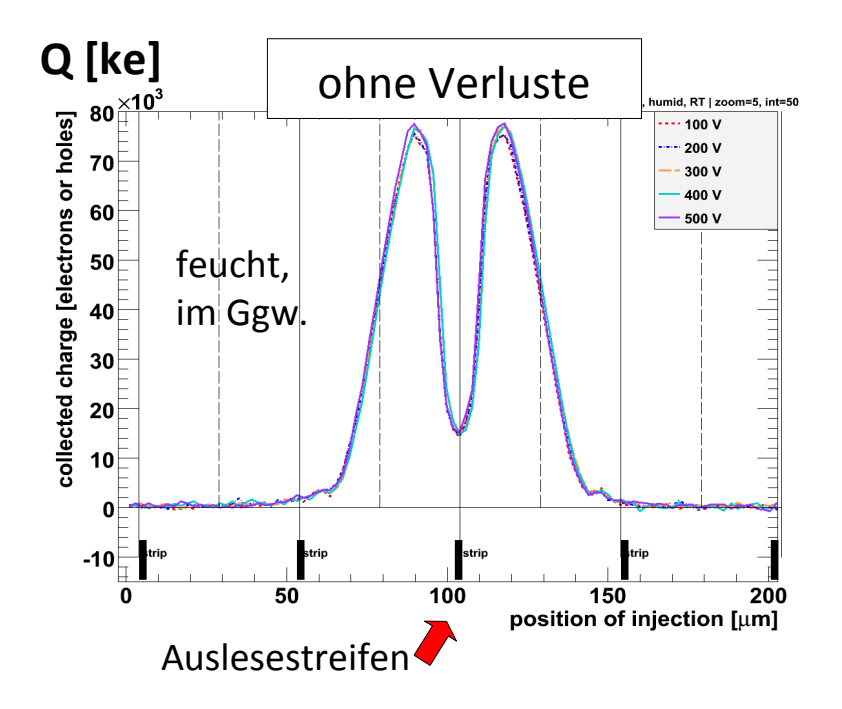
Wieviel Ladung kann maximal verloren gehen? Wann wird sie gesammelt?



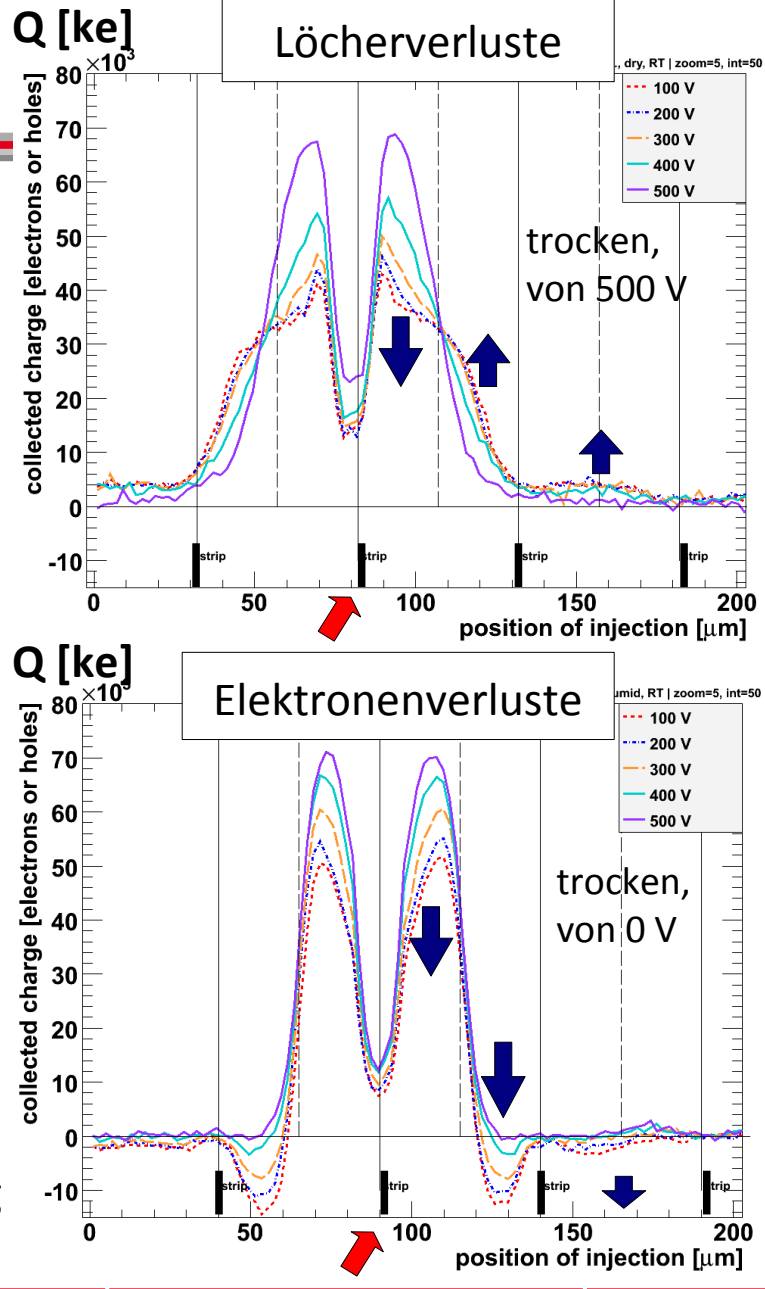
# **Backup**



# Spannungsabhängigkeit



ohne Verluste: Q spannungsunabhängig sonst: mehr Verluste für kleine Spannungen mit Elektronen => induzieren negative Ladung Löcher => induzieren positive Ladungen





# Messablauf (Elektronenverluste)

Sensor getrocknet bei 0 V

→ 200 V → Elektronenverluste

Messung 1, trocken

Was passiert im Detektor?

0 V: Oxidladungen kompensiert (freie Ladungsträger)

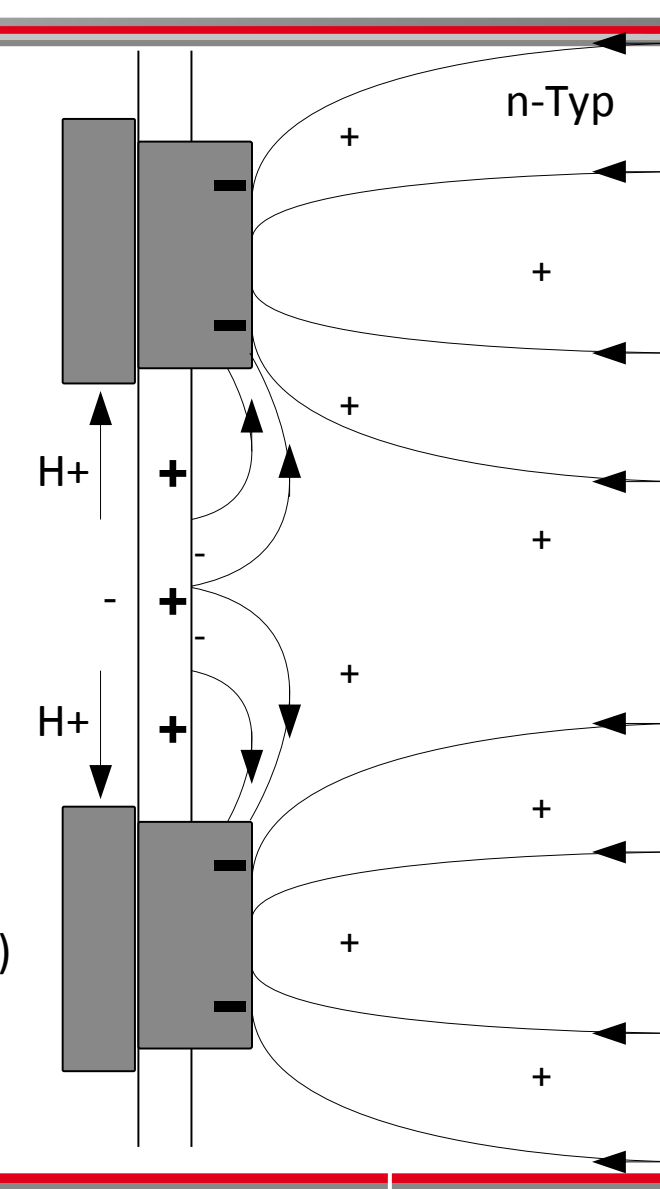
200 V: Oxidladungen unzureichend kompensiert

Gleichgewicht (schnell erreicht, falls hohe Luftfeuchte)

200 V: Kompensation durch OH- auf der Oberfläche (außen)

=> weniger (keine) Verluste

Messung 2, feucht





# Unvollständige Ladungssammlung

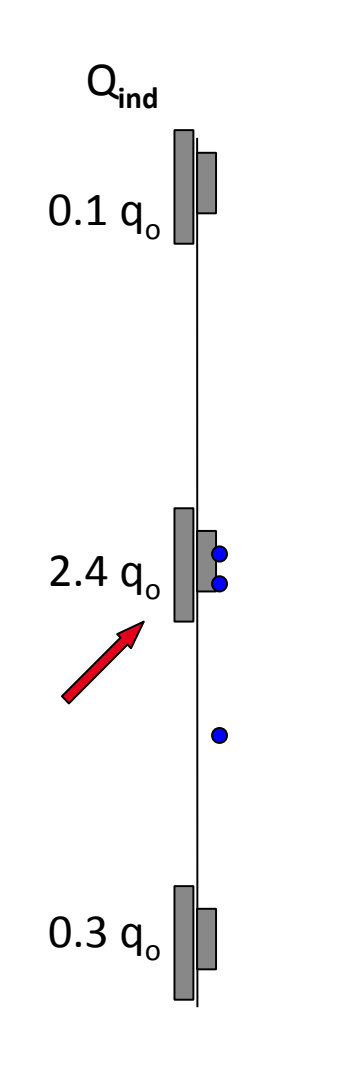
Am Ende der Integrationszeit:

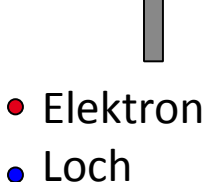
Einige Ladungsträger im Detektorvolumen

Dadurch induzierte Ladung am Auslesetreifen:

$$Q_{ind} = q_o \cdot \phi_w$$
 (Position<sub>Loch</sub>)  
= 0.4  $q_o$ 

Ladung am nächsten Streifen reduziert, sonst erhöht







## Messergebnisse

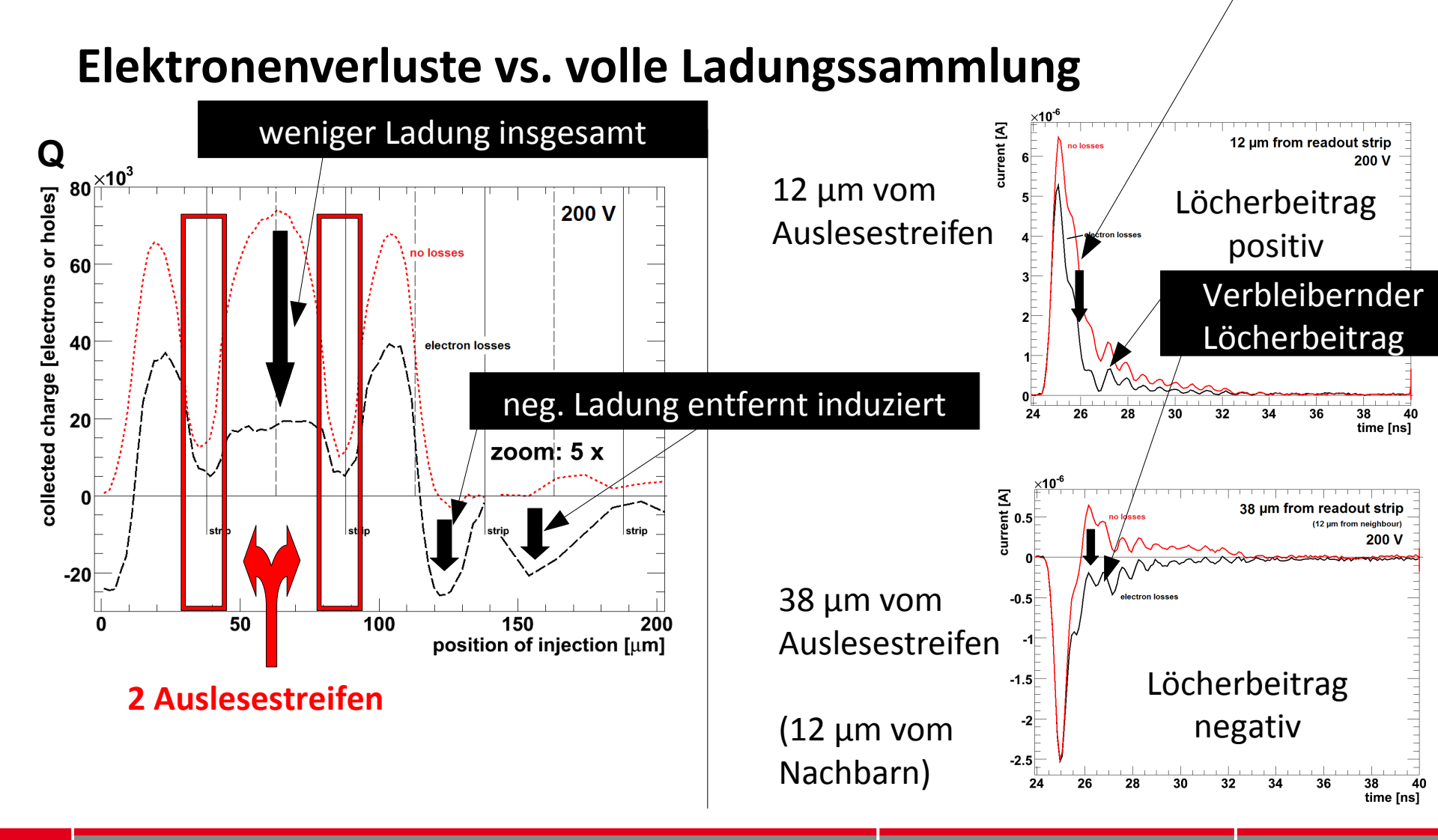
bei 200 V

- a) Elektronenverluste: hohe Oxidladung (1 MGy), von 0 V, trocken
- b) Löcherverluste: geringe Oxidladung (0 Gy), von 500 V, trocken

jeweils Vergleich mit voller Ladungssammlung: z.B. 0 Gy, feucht

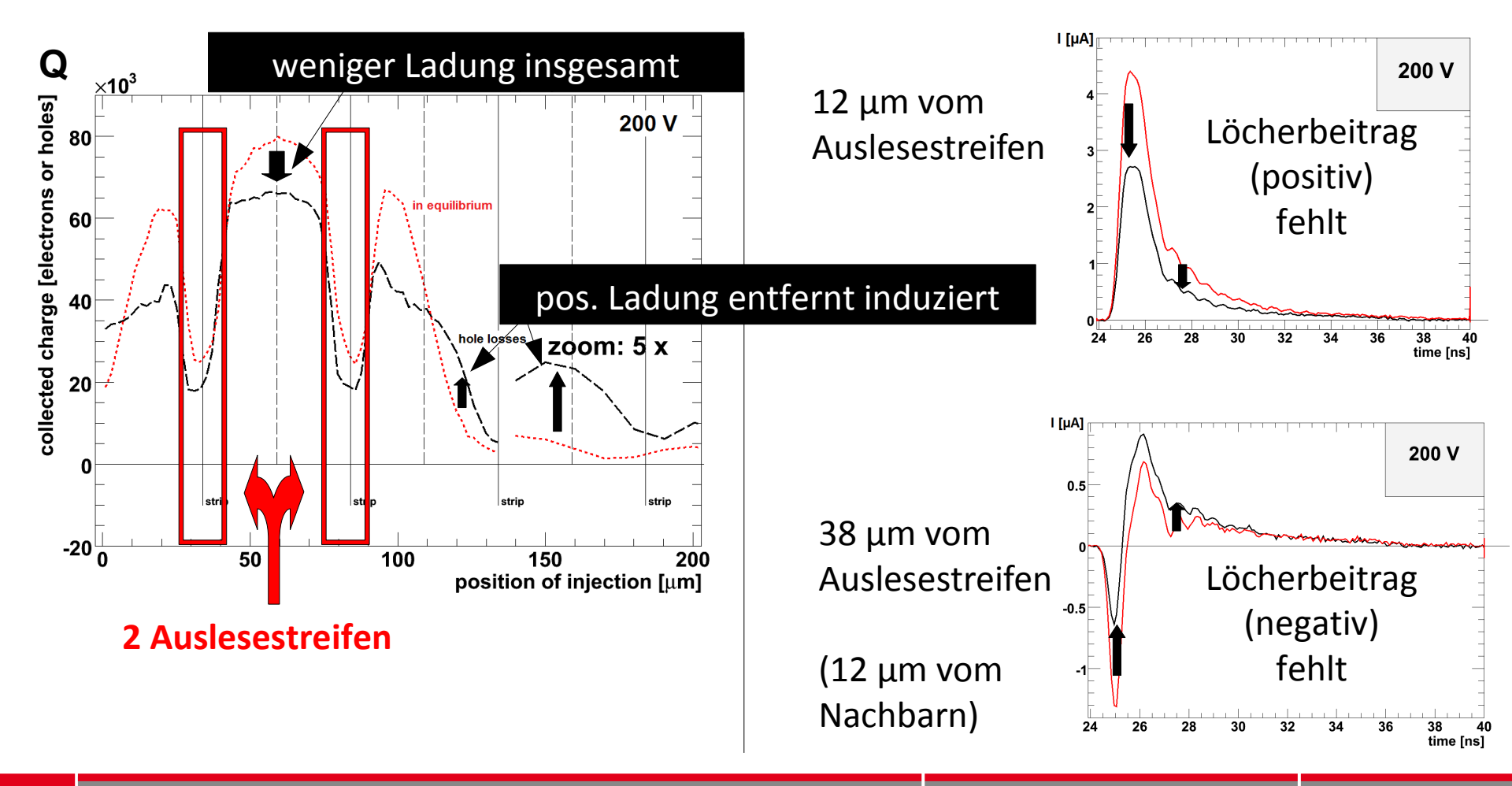
ZustandQeffVerluste200 V (v. 0 V)+Elektronen200 V (v. 500 V)-Löcher







# Löcherverluste vs. volle Ladungssammlung



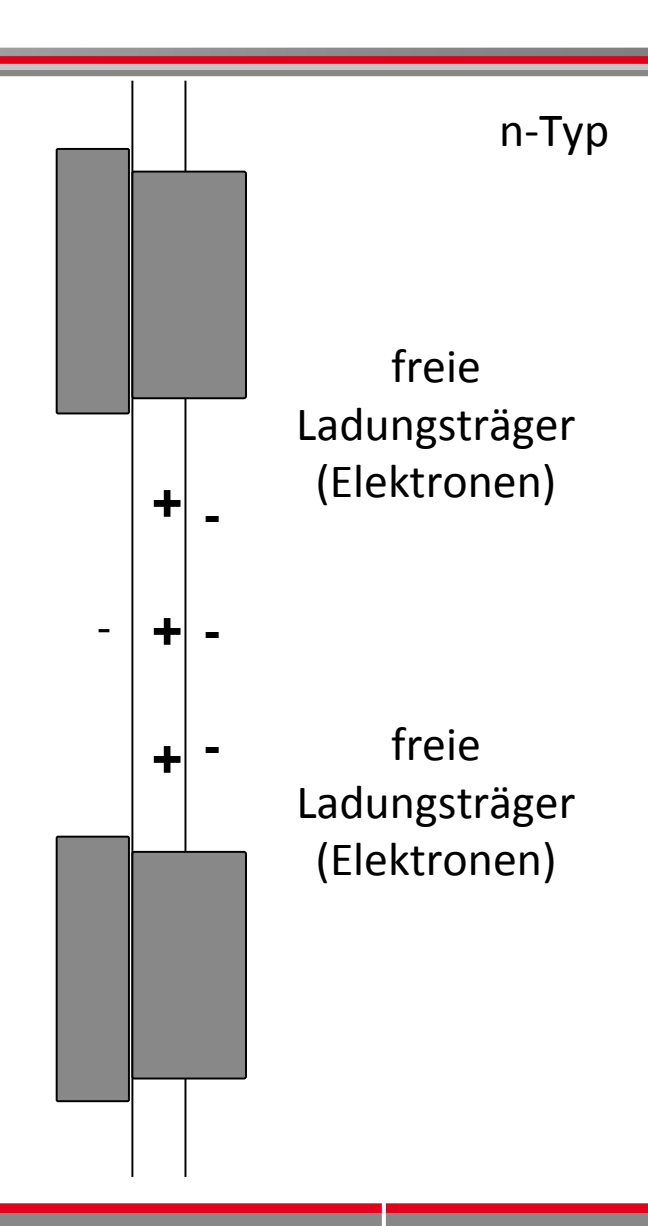


0 V

(Gleichgewichtszustand)

Oxidladungen und Raumladungen

durch freie Ladungsträger kompensiert





200 V

(Gleichgewichtzustand)

Oxidladungen durch Akk.-Schicht und

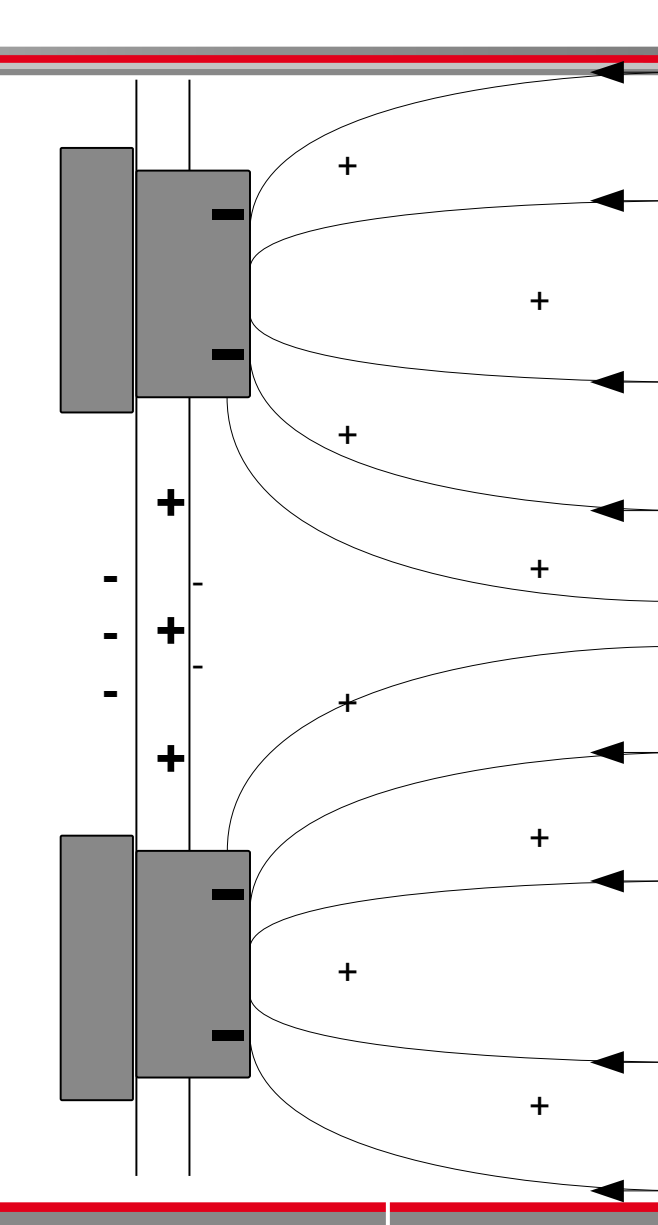
Oberflächenladungen (t.w.) kompensiert

=> keine (oder geringe) Verluste?

Zustand 200 V (v. 0 V) 200 V Ggw. Qeff Verluste

Elektronen

0/+ keine?





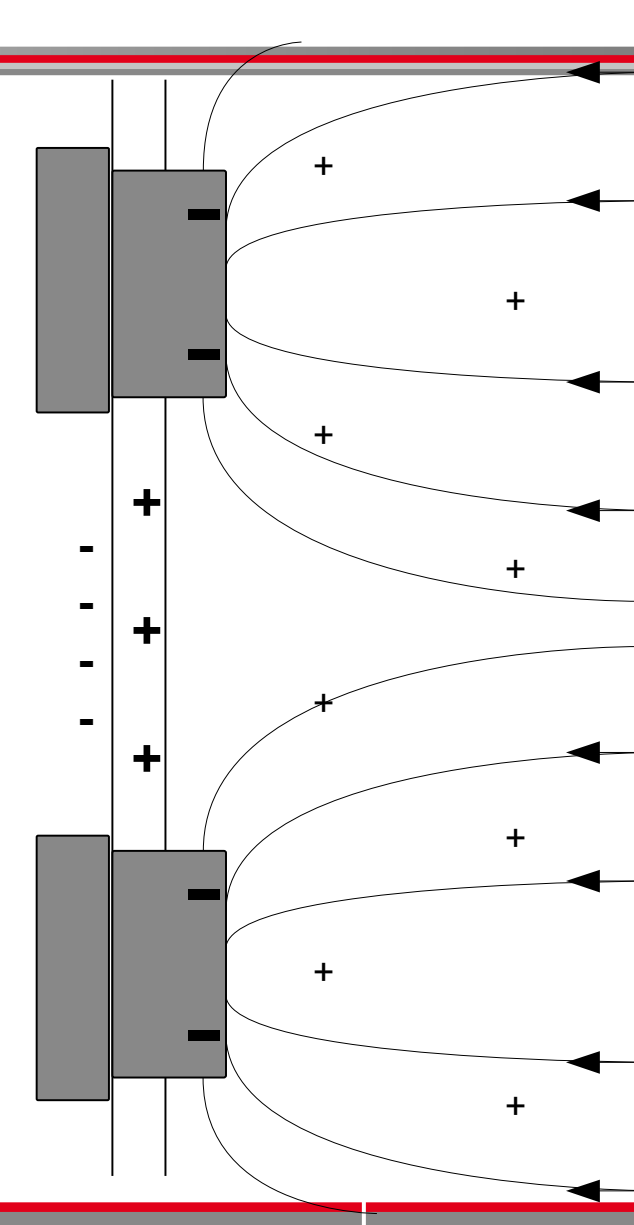
500 V

(Gleichgewichtzustand)

Keine Akkumulationsschicht, Oxidladungen durch erhöte Oberflächenladungen (t.w.) kompensiert

=> keine (oder geringe) Verluste?

<u>Zustand</u> 200 V (v. 0 V)	<u>Qeff</u> +	<u>Verluste</u> Elektronen
200 V Ggw.	0/+	keine ?
500 V Ggw.	0/+	keine?





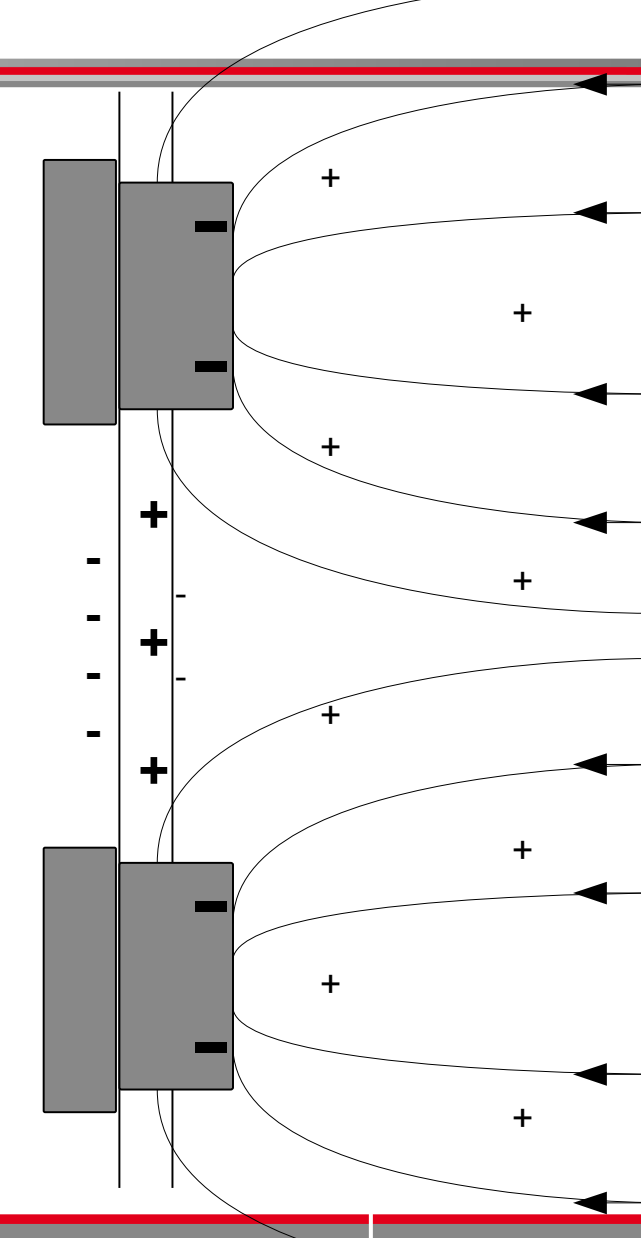
200 V

(von 500 V)

Hohe Oberflächenladungen + Akkumulationsschicht Oxidladungen ggf. überkompensiert

#### => Löcherverluste?

<u>Zustand</u> 200 V (v. 0 V)	<u>Q</u> eff +	<u>Verluste</u> Elektronen
200 V Ggw.	0/+	keine ?
500 V Ggw.	0/+	keine ?
200 V (v. 500 V)	0/ -	Löcher?





### X-FEL

Event Rate: ... MHz einzelne Photonen sollen detektiert werden

=> geringes Rauschen, schnelle Ladungssammlung

Detektoren im Vakuum

Röntgenstrahlung

Strahlenbelastung (ca. 1 MGy)

Erhöhte Oxidladung ( $\sim 2 \cdot 10^{12} \text{ e/cm}^2$ )



# Übersicht über Ladungsverluste

geringe Oxidladung (0 Gy)

U	Ggw.	von 0 V	von 500 V
100 V	keine	~ 60 % Elektronen	~ 85 % Löcher
200 V	keine	~ 40 % Elektronen	~ 80 % Löcher
300 V	keine	~ 10 % Elektronen	~ 75 % Löcher
400 V	keine	keine	~ 50 % Löcher
500 V	keine	keine	keine

hohe Oxidladung (1 MGy)

U	Ggw.	von 0 V	v. 500 V
100 V	~ 50% Elektronen		
200 V	~ 45 % Elektronen	~ 90 % Elektronen	keine
300 V	~ 30 % Elektronen		
400 V	~ 10 % Elektronen		
500 V	keine	~ 80 % Elektronen	keine